

공학석사 학위논문

부순모래를 혼입한 수중불분리성  
콘크리트의 실험적 연구

이 논문은 제작비로 제출함



2002년 2월

부경대학교 산업대학원

토 목 공 학 과

오 광 영

# 오광영의 공학석사 학위논문을 인준함

2001년 12월 15일

주 심 공학박사 국승규



위원 공학박사 이환우



위원 공학박사 김명식



# 목 차

Abstract .....	i
1. 서론 .....	1
1.1 연구배경 및 목적 .....	1
1.2 연구범위 및 방법 .....	2
2. 문헌 고찰 .....	4
2.1 수중불분리성 혼화제와 유동화제 .....	4
2.2 수중불분리성 콘크리트의 국내 연구 동향 .....	6
2.3 해수 .....	9
2.4 부순모래 .....	10
2.4.1 부순모래에 사용되는 암석 .....	10
2.4.2 부순모래에 사용되는 원석의 성질 .....	11
3. 실험계획 및 방법 .....	14
3.1 실험파라미터 .....	14
3.2 실험방법 .....	15
3.2.1 수중불분리성 콘크리트의 제작 .....	15
3.2.2 압축강도측정용 공시체제작 및 양생 .....	15
3.2.3 굳지않은 콘크리트시험 .....	16
3.2.4 경화된 콘크리트시험 .....	17
3.3 사용재료 .....	17
3.3.1 시멘트 .....	17
3.3.2 골재 .....	17
3.3.3 혼화재료 .....	18
3.3.4 실험수 .....	18
3.4 배합설계 .....	19

4. 실험결과 및 고찰 .....	22
4.1 굳지않은 수중불분리성 콘크리트의 특성 .....	22
4.1.1 재료분리저항성 .....	23
4.1.2 유동성 .....	25
4.1.3 공기량 .....	25
4.2 경화된 수중불분리성 콘크리트의 특성 .....	26
4.2.1 단위증량 .....	28
4.2.2 압축강도 .....	29
5. 결 론 .....	31
참 고 문 헌 .....	33

**An Experimental Study of Antiwashout Underwater Concrete  
blending with Crushed Sand**

**Kwang-Young, Oh**

*Department of Civil Engineering  
Graduate School of Industry  
Pukyong National University*

**Abstract**

In this study, crushed sand is blended with river sand and sea sand, to investigate the quality change of antiwashout underwater concrete with variation of blend ratio of crushed sand(0%, 20%, 40%, 60%, 80%, 100%).

To see experiment conclusion, the more blend ratio of crushed sand increases, the more unit weight increases. Because the for that specific gravity of crushed sand is higher comparatively than that of river sand and sea sand. Higher compressive strength is measured following the order of river sand, crushed sand, sea sand regardless of age and casting-curing condition. Except for case of using river sand, blend ratio of 40% is appeared on most compressive strength. So the optimum blend ratio of crushed sand is 40% from the view point of compressive strength.

**Key words : antiwashout underwater concrete, River sand, Sea sand,  
Crushed sand, blend ratio, casting and curing condition**

# 1. 서론

## 1.1 연구배경 및 목적

우리나라는 국민경제의 성장과 무역규모의 확대에 따라 수·출입 물동량이 급격히 증가하여 왔으나, 투자재원의 부족과 장기적인 개발계획의 미비로 항만개발이 매우 부진하였다. 그러나 최근 사회간접자본시설인 항만기능의 중요성이 부각되어 항만시설을 비롯한 배후수송시설의 확충과 현대화가 필요하다는 인식이 확산되고 있어, 신항만개발 등의 방안이 속속 마련되고 있다. 따라서 이러한 시설들을 건설하기 위해서는 수중콘크리트 공사가 필수적이며, 그 수요 역시 증가할 것이다.

수중불분리성 콘크리트는 수중콘크리트공사에 있어서의 문제점인 시멘트가 유실되는 재료분리문제와 다짐 없이 수중에 타설되는 수중콘크리트의 수밀성과 내구성에 대한 신뢰성 확보문제 등의 문제점들을 보완하여 콘크리트의 품질을 향상시켰다. 그래서 최근들어 수중불분리성 콘크리트는 해양 및 수중콘크리트 구조물의 신설, 보수, 보강 현장에 사용되는 사례가 증가하고 있는 추세이다.

천연 괄재자원의 부존량은 점차 고갈되고 있는 상태이며, 이에 따라 주요 괄재의 공급원은 하천꼴재, 바다꼴재 및 석산꼴재로 급격히 다변화되어가고 있는 실정이다. 특히 석산꼴재는 국내에서는 가용량이 풍부한 편이어서 하천 괄재의 대체가 용이하므로 날로 급증하고 있는 괄재 수요에 효과적으로 대처 할 수 있다. 따라서 90년도 초에 이르러 부순모래를 콘크리트용 잔꼴재로 이용하려는 연구가 일부업체나 학계에서 이루어졌으며, 1995년 9월까지의 확인된 부순모래 생산업체 수는 전국적으로 50사 내외로 파악되었고, 부순모래 사용량도 93년 2%에서 98년 10%로 늘어났고, 앞으로도 수요가 증가할 것으로 예상된다.

따라서, 본 연구에서는 부순모래 혼입률 변화에 따른 수중불분리성 콘크리트의 품질변화를 측정하기 위해서 강모래와 바다모래에 각각 부순모래를

0%, 20%, 40%, 60%, 80%, 100%로 혼입률을 변화시켜 적정 부순모래 혼입률을 도출하고, 부순모래 혼입률 변화에 따른 특성을 살펴보고자 한다.

## 1.2 연구범위 및 방법

본 연구에서는 국내 S사에서 생산되는 보통포틀랜드시멘트, 경남 용원 석산에서 생산되는 최대치수 25mm의 부순자갈, 경남 합천 황강에서 채취한 강모래, 전남 진도 앞바다에서 채취한 바다모래, 경남 용원 석산에서 채취한 부순모래, 국내 A사에서 생산되는 혼화제(수중불분리성 혼화제, 유동화제)를 사용한다.

설계기준강도 240kgf/cm<sup>2</sup>, 물-시멘트비(W/C) 50%, 잔골재율 40%, 슬럼프플로우 50±5cm, 공기량 4%이하, 단위수량 220kg/m<sup>3</sup>로 고정하고 잔골재의 종류를 강모래(R), 바다모래(S), 부순모래(C) 3종류로 하고, 강모래와 바다모래에 각각 부순모래를 0%, 20%, 40%, 60%, 80%, 100%로 혼입률을 변화시켜 담수와 해수에서 각각 제작·양생한 수중불분리성 콘크리트의 각종특성변화를 파악하기 위해 다음과 같은 순서 및 방법에 의하여 연구를 수행하고자 한다.

- ① 문헌고찰을 통하여 수중불분리성 콘크리트의 특성 살펴본다.
- ② 본 연구에 필요한 사용재료를 결정하고, 각 재료의 물성을 파악한다.
- ③ 본 연구의 설계조건을 기준으로 배합설계를 실시하여 기준시방배합표를 작성한다.
- ④ 잔골재의 종류를 강모래, 바다모래, 부순모래 3종류를 사용하고, 강모래와 바다모래에 각각 부순모래를 0%, 20%, 40%, 60%, 80%, 100%로 혼입률을 변화시켜 시방배합표를 작성한다.

- ⑤ 굳지않은 수중불분리성 콘크리트의 특성을 파악하기 위해 작성된 시방배  
합표를 기준으로 하여 재료분리저항성(pH 및 혼탁물질량), 유동성(슬럼  
프플로우), 공기량을 측정하고 압축강도측정용 공시체를 각각 담수와 해  
수에서 제작·양생한다.
- ⑥ 경화된 수중불분리성 콘크리트의 특성을 파악하기 위해 담수와 해수에서  
제작·양생된 수중불분리성 콘크리트의 단위중량과 압축강도를 재령 7  
일, 28일에 측정한다.

## 2. 문현 고찰

### 2.1 수중불분리성 혼화제와 유동화제

수중불분리성 혼화제는 시멘트 수용액에 용해되어 콘크리트의 점성과 보수성을 증대시킴으로서 수중에 칠 때 물의 셋김작용에 의한 재료분리를 방지하는 특성을 가지고 있고, 수중불분리성 혼화제의 주성분은 수용성 고분자로 되어 있으며, 크게 구분하면 셀룰로오스계와 아크릴계 두 종류며, 요즘은 주로 셀룰로오스계가 주종을 이루는 추세이다.

수중불분리성 혼화제의 주성분에 따른 분류는 Table 2.1과 같고, 품질에 대해서는 1999년 한국콘크리트학회에서 규정한 「콘크리트용 수중불분리성 혼화제 품질규준(KCI-AD-102)」이 있으며, 여기에 규정된 품질규준은 Table 2.2와 같다.

Table 2.1 Main ingredient of antiwashout underwater agent

Type	Chemical sign
Cellulose	Methyl Cellulose(MC)
	Hydroxy Ethyl Cellulose(HEC)
	Hydroxy Propyl Cellulose(HPC)
	Hydroxy Ethyl Methyl Cellulose(HEMC)
	Hydroxy Propyl Methyl Cellulose(HPMC)
	Hydro Ether Ethyl Cellulose(HEEC)
Acryl	Polyacrylamide
	Polyacrylamide and acrylicacid-soda of Copolymer
	Polyacrylamide part hydrolysis

Table 2.2 Quality standard of the antiwashout underwater agent

Item		Standard	
Bleeding ratio (%)		Below 0.1	
Setting time (hour)	Initial	Over 5	
	Final	Below 30	
Compressive strength	Compressive strength of molded underwater (kgf/cm <sup>2</sup> )	7days 28days	Over 130 Over 230
	Compressive strength ratio molded underwater/air (%)	7days 28days	Over 60 Over 70
Flexural strength	Flexural strength ratio molded underwater/air (%)	7days 28days	Over 50 Over 60
	Suspended solids (mg/l)	Below 150	
Underwater dropping test	pH	Below 12	

수중불분리성 혼화제를 첨가하면 콘크리트의 점성이 증가하기 때문에 물의 씻김작용에 대한 분리저항성이 커지는 대신 시공성이 저하하므로, 소요의 시공성을 확보하기 위해서는 단위수량을 어느 한도 이하로 제한하고, AE감수제 또는 유동화제를 사용하는 것이 일반적이므로, 본 연구에서는 유동화제를 사용한다.

유동화제는 사용방법에 따라 고성능감수제와 유동화제로 구별되는데, 고성능감수제는 뛰어난 시멘트 분산효과를 이용하여 보통콘크리트와 동일한 작업성능을 가지면서 W/C저감과 고강도화를 주목적으로 하는 경우에는 고성능감수제라 부르고, 동일한 W/C의 콘크리트에 첨가하여 콘크리트의 품질은 변동 없이 작업성만을 크게 향상시킨 콘크리트를 제조할 경우에 유동화제라 부른다.

유동화제의 기본적인 성능은 고성능감수제와 마찬가지로 시멘트 입자의 분산성능이 뛰어나 감수성능이 우수하며 아울러 응결지연 및 과다한 공기연행, 강도저하 등의 나쁜 영향 없이 단위수량을 대폭 감소시킬 수 있다. 이러한 유동화제에는 크게 주성분에 따라 폴리알킬아릴 살포산염계, 멜라민포르말린수지 살포산염계, 방향족다환축합물 살포산염계 등으로 분류할 수 있고, 유동화제의 성능에 따라 표준형과 자연형으로 분류할 수 있는데 대한토목학회에서 제시한 유동화제의 품질규정은 Table 2.3과 같다.

Table 2.3 Quality standard of superplasticizer

Item	Type		Standard	Retard
	Slump (cm)			
Experiment item	Base concrete		8±1	
		Superplasticized concrete	18±1	
	Air value (%)	Base concrete	4.5±0.5	
		Superplasticized concrete	4.5±0.5	
Difference of bleeding (cm³/cm³)			Below 0.1	Below 0.2
Difference setting time (min)	Initial		-30~+90	-60~+210
	Final		-30~+90	Below +210
Decrease in slump as to time (15min)			Below 4.0	Below 4.0
Decrease in air value as to time (15min)			Below 1.0	Below 1.0
Compressive strength ratio (%)	3 days		Over 90	Over 90
	7 days		Over 90	Over 90
	28 days		Over 90	Over 90
Length transformation ratio (%)			Below 120	Below 120
Relative dynamic modulus ratio of elasticity (%)			Over 90	Over 90

## 2.2 수중불분리성 콘크리트의 국내 연구 동향

수중에서 재료분리저항성이 우수하고 셀프레벨링성과 충전성이 뛰어난 수중 불분리성 콘크리트는 1974년 독일에서 개발되어 1977년 독일의 SIBO사에 의해 사용되기 시작하였다. 최근에는 이러한 장점들을 고려하여 간극충전시공, 고품질의 수중콘크리트, 수중에서의 철근콘크리트 구조물, 강관 및 강판의 방식라이닝, 그리고 보수, 보강공법에 적용되는 등 그 사용이 일반화되고 있다.

이와 같이 수중불분리성 콘크리트는 종래의 수중콘크리트에서는 생각할 수 없었던 다양한 용도와 규모로 사용되고 있기 때문에 그 사용이 더욱 더 일반화 될 것으로 생각된다.

우리 나라에서도 1980년대 중반에 수중불분리성 콘크리트 기술이 도입되어 1995년 대한토목학회에서 『콘크리트용 수중불분리성 혼화제 품질규준(안)』을 작성하였고, 1996년 개정된 『콘크리트표준시방서』 시공편에 수중불분리

성 콘크리트에 관한 규정을 처음으로 추가하였으며, 1999년 개정된 『콘크리트표준시방서』에는 적용범위와 재료편 등의 규정을 더 추가하는 등 그 관심이 날로 증가하고 있다.

그러나 국내에서 생산되는 수중불분리성 혼화제는 제조회사와 특성에 따라 표준사용량, 사용방법, 그리고 배합설계방법 등이 상이함으로 인하여 사용상에 많은 어려움이 발생하고 있기 때문에 수중불분리성 혼화제와 수중불분리성 콘크리트의 특성에 따른 올바른 사용방법에 대한 연구가 지속적으로 수행되고 있는 추세이고, 현재까지의 각 대학교 학위논문들을 중심으로 소개하면 다음과 같다.

(1) 국민대학교

- 강수웅, '셀룰로스계 혼화제 사용 수중불분리성 콘크리트 특성 연구', 1993

(2) 금오공과대학교

- 장일영, '수중불분리 콘크리트의 부착특성에 관한 실험적 연구', 1996
- 송재호, '수중불분리 콘크리트의 제강도 특성에 관한 실험적 연구', 1996

(3) 부산대학교

- 한태영, '수중비분리 콘크리트의 최적 배합비에 관한 연구', 1995

(4) 서울산업대학교

- 박상욱, '수중불분리성 콘크리트에서 혼화제의 최적 배합비에 관한 연구', 1998

(5) 연세대학교

- 백병훈, '혼화제 종류에 따른 수중불분리 콘크리트의 특성에 관한 연구', 1999

(6) 한양대학교

- 채소연, '수중불분리성 혼화제 사용 콘크리트의 제성질에 대한 실험적 연구', 1993
- 이재준, '수중불분리성 콘크리트의 제물성을 향상시키기 위한 실험적 연

구', 1999

(7) 경상대학교

- 권중현, '플라이애쉬를 혼입한 해수중불분리성 콘크리트의 특성', 1999

(8) 부경대학교

- 백동일, '해사를 사용한 수중불분리콘크리트의 특성에 관한 기초적 연구', 1997
- 어영선, '수중불분리콘크리트의 최적 물-시멘트비에 관한 실험적 연구', 1997
- 최의식, '해사를 사용한 수중불분리콘크리트의 강도발현에 관한 연구', 1997
- 김광민, '해사 혼합율 변화에 따른 수중불분리콘크리트의 특성에 관한 실험적 연구', 1998
- 김기동, '수중불분리콘크리트의 부착강도특성에 관한 기초적 연구', 1998
- 이상명, '제작환경에 따른 수중불분리성 콘크리트의 특성에 관한 실험적 연구', 1999
- 윤재범, '배합조건과 양생수에 따른 수중불분리성 콘크리트의 특성에 관한 연구', 1999
- 이동화, '수중불분리성 콘크리트의 장기강도 특성에 관한 실험적 연구', 2000
- 김동명, '배합시간 및 배합량이 수중불분리성 콘크리트의 특성에 미치는 영향', 2000
- 고창섭, '수중불분리성 콘크리트의 재료역학적 특성에 관한 연구', 2000
- 양영인, '고로슬래그미분말을 혼입한 수중불분리성 콘크리트의 특성에 관한 연구', 2000
- 신현필, '잔골재의 종류에 따른 수중불분리성 콘크리트의 특성에 관한 연구', 2001

이상과 같이 소개된 수중불분리성 콘크리트에 관한 여러 연구들은 주로 수

중불분리성 혼화제의 사용량과 종류에 따른 수중불분리성 콘크리트의 기초적 특성을 파악한 연구들이 대부분이고, 현재에는 고강도 수중불분리성 콘크리트에 관한 연구나 시멘트를 고로슬래그나 플라이애쉬로 치환한 수중불분리성 콘크리트에 관한 연구들이 진행중이며, 특히 부경대학교 건설재료실험실에서는 수중불분리성 콘크리트를 해양에 적용하기 위한 연구들을 진행하고 있다.

### 2.3 해수

해수는 채취장소에 따라 다소 차이가 있으나 일반적인 물리·화학적 성질을 정리하면 Table 2.4와 같다.

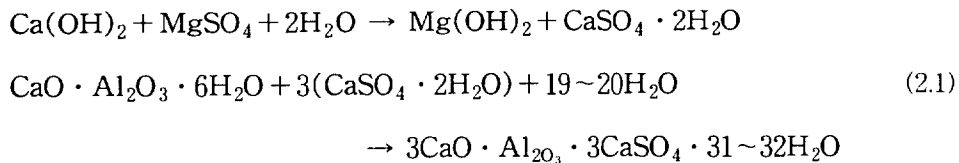
Table 2.4 Physical & chemical properties

Density (t/m <sup>3</sup> )	pH	Salt content (%)		
		NaCl	MgCl <sub>2</sub>	Chemical compound of Br & I
1.024	7.5	2.8		75~80
~	~	~		10~11
1.030	8.4	4.2	Sulfate	Little
			10~11	MgSO <sub>4</sub> 50
				CaSO <sub>4</sub> , K <sub>2</sub> SO <sub>4</sub> 50

콘크리트는 해수의 물리·화학적인 작용을 받아 시간과 함께 열화를 일으키게 되는데, 해수의 물리적인 작용으로서는 파랑, 공동, 온도, 습도변화, 표사. 그리고 표류고형물의 충돌 등이 있다. 파랑이나 고형물의 충돌은 콘크리트 표층부의 파손을 촉진하고, 건전한 콘크리트에서도 표사 등에 의한 지속적인 마모작용을 받아서 현저하게 손실되는 일이 있다.

화학적인 작용으로서는 시멘트 속의 유리석회나 수화생성물인 수산화칼슘은 해수에 대해 가용성이기 때문에 해수중에 용출되는 것에 의해 서서히 콘크리트 경화체 조직의 틈이 만들어지고 다공질화 되지만, 수산화칼슘의 용출즉시 강도저하나 질량감소가 일어나는 것이 아니라, 오랜 세월동안에 서서히 철근에 대한 방청기능을 저하시키는 등의 영향을 미친다. 그러나 해수의 염류중에 5%정도 포함되어 있는 황산마그네슘은 식 (2.1)과 같이 시멘트 속의 C<sub>2</sub>S

및 C<sub>3</sub>S의 수화생성물인 수산화칼슘과 반응하고, 나아가 시멘트성분의 C<sub>3</sub>A의 수화생성물과 반응하여 에트링자이트(ettringite)가 생성된다. 이렇게 생성된 에트링자이트 결정은 용적이 증가하게 되고, 결국 콘크리트는 표층에서부터 팽창압에 의해 서서히 파괴된다.



해수중 염분의 약 90%를 차지하고 있는 염화물은 식 (2.2)와 같이 수산화 칼슘과 반응하여 해수에 대해 가용성인 염화칼슘을 생성하고 콘크리트를 다공 질화하지만, 일반적으로 그 반응은 완만하다.



## 2.4 부순모래

### 2.4.1 부순모래에 사용되는 암석

부순모래에 사용되는 암석은 크게 나누어 화강암, 대리석, 점판암, 사암, 편암 및 편마암, 응회암, 현무암, 섬록암 등을 들 수 있으며, 이 중 전 국토의 2/3을 차지하고 있는 암석은 주로 화강암, 사암 및 점판암, 편암 및 편마암 등 자원이 풍부한 편이다. 그러나 연질의 사암, 연질의 응회암, 풍화한 암석 등의 연약한 것, 또한 부술 때 결정 사이에 균열이 남아 있을 염려가 있는 것, 콘크리트 품질에 악영향을 미치는 것은 사용하면 안된다. 그리고 부순모래의 원석에는 표토 및 기타 불순물을 제거한 것을 사용하여야 한다.

레미콘 골재로 이용되는 암석별 사용 실태에 관한 정확한 자료는 없으나 수

도くん 지역의 경우 화강암류의 암석이 대부분 사용되고 있으며 경상도 지역의 경우는 퇴적암류인 점판암 및 사암 등이 넓게 분포되어 이들 암석을 콘크리트 용 주요 골재로 이용하고 있다.

#### 2.4.2 부순모래에 사용되는 원석의 성질

##### ① 개요

암석의 주된 조암광물은 석영과 장석으로 구성되어 있으며, 석영은 화학적 풍화작용에 대한 저항성이 강하여 잔적토층에서 모래입자로 남아 있으나 장석은 물리적, 화학적 풍화작용을 받는 동안 점토로 변화됨으로써 자체 저항력과 결집력이 상실되어 콘크리트용 골재로 이용할 경우 내마모성 및 흡수율 등에 적지 않은 영향을 미치게 된다. 따라서 부순돌 및 부순모래에 이용되는 원석의 성질 중 다음과 같은 사항들이 사전에 검토되어야 한다.

##### ② 비중

암석의 비중은 조암광물의 종류와 비율, 공극의 정도 등에 따라 달라진다. 일반적으로 이들의 비중이라면 겉보기 비중을 말하며 2.65 정도이지만 암석의 종류에 따라 다르기 때문에 사용 암석에 대한 비중을 사전에 반드시 검토하여야 한다.

##### ③ 흡수율

암석의 흡수율은 풍화, 파괴, 내구성 등에 크게 영향을 받는다. 흡수된 물의 양은 암석 분자 간의 공극에 침투하기 때문에 공극률을 알 수 있다. 흡수율이 크다는 것은 다공성이라는 것을 나타내며 대체로 동해를 받기 쉽다는 것을 의미한다. 따라서 암석별 흡수율에 대한 시험 및 자료에 대해서 조사를 해둘 필요가 있다.

##### ④ 압축강도

일반적으로 역학적 성질을 비교함에 있어서 압축강도를 기준으로 하는 경

우가 대부분이다. 암석의 압축강도는 공극률이 적을수록, 구성 입자가 작을 수록 결정도와 그 결합상태가 좋을수록 크다. 또한 함수율에 대하여 많은 영향을 받으며, 함수율이 높을수록 강도가 저하됨을 알 수 있다. 또한 석영의 함량이 증가하거나 입자의 크기가 작아질 경우 압축강도는 증가하는 경향이 있다.

#### ⑤ 선팽창계수

조암광물의 선팽창계수는 Table 2.5에서와 같이 광물 성분에 따라 다르며, 그 결정도 다르므로 암석이 온도 변화에 의해 신축될 때는 암석 내부에 매우 복잡한 응력이 발생하여 암석 붕괴의 큰 원인이 된다. 이 계수는 온도의 고저에 따라 상당한 차이가 있다. 암석은 열에 의한 불량 도체이므로 열의 불균질 분포가 생기기 쉬우며, 이로 인하여 열응력과 조암광물의 팽창계수가 상이한 원인 등으로 인해 1000°C 이상의 고온을 가열하면 암석은 파괴된다.

Table 2.5 Coefficient of linear expansion as to kinds of rock ( $\times 10^{-4}/^{\circ}\text{C}$ )

Kinds \ Temperature (°C)	300	500	600	750	900	1060
Granite	0.101	0.063	0.137	0.339	0.337	0.264
Andesite	0.023	0.051	0.124	0.105	0.086	0.093
Tuff	0.027	-	0.035	0.070	0.094	0.021
Lime ston	0.090	0.170	0.220	-	-	-

#### ⑥ 물리적 특성

일반적으로 물리적 성질로는 비중(Specific gravity), 공극률(Porosity), 함수율(Water content), 경도(Hardness), 강도(Strength) 등을 들 수 있다. 부순들의 물리적 성질을 측정 및 표시하기 위하여 비중, 흡수율, 마모 감량, 안정성 시험을 행하며, 때에 따라서는 강도, 경도도 측정하는 경우가 있다.

암석의 골재로서의 성질을 비교하며 Table 2.6과 같다.

Table 2.6 Physical of properties

Division	Classification	Specific gravity	Abs. (%)	Abrasion loss (%)	Core hardness	Compressive strength (kgf/cm <sup>2</sup> )
Igneous rock	Granite	2.5~2.8	0.2~2.8	5~70	38~95	800~3,050
	Diorite	2.7~3.0	0.3~0.9	5~30	80	800~3,100
	Liparite	2.5~2.8	0.3~0.9	6~19	42~108	700~3,000
	Propylite	2.6~3.0	0.3~1.5	8~21	52~92	800~2,800
	Basalt	2.7~3.2	0.5~1.3	8~27	72~89	1,400~3,600
Sedimentary rock	Conglomerate	2.6~2.7	0.2~1.2	6~14	40~108	1,100~3,800
	Sandstone	2.2~2.7	0.2~2.5	10~41	-	900~2,200
	Tuff	1.8~2.6	0.7~5.5	9~45	65~102	1,100~4,300
	Lime stone	2.5~2.7	0.3~1.1	15~32	40~58	500~1,200
Metamorphic rock	Vasion	2.5~2.9	0.3~2.6	7~14	-	800~3,000
	Schist	2.6~3.0	0.2~1.8	7~15	23	800~3,500

암석은 일정 온도까지는 내화적이지만 일정 범위를 초과하게 되면 급격히 파괴되는 성질을 가지고 있다. 이를 암석 중 우리 나라 국토의 대부분을 차지하고 있는 화강암은 400°C까지는 압축강도가 단조로운 감소현상을 나타냈으나, 500~600°C 사이에서는 강도의 급격한 감소현상을 나타내고, 800°C 이상에서는 압축강도가 거의 발현되지 않는 것을 알 수 있다. 이는 일정 온도이상이 되면 암석 내의 체적 팽창이 일어나 그 체적 변화가 화강암의 파쇄에 영향을 주게 된다. 그러나 현재 국내에서 생산되는 골재의 원석이 대부분 화강암이므로 사용이 불가피한 실정이다.

## ⑦ 화학적 특성

대표적인 화학적 특성으로 탄산화 작용이 있는데, 건축물에 사용되는 암석의 대부분이 공기중에 탄산, 약염산 또는 황산류에 의해 생긴 침식과 이들 산류를 포함한 물의 흡수에 의해 팽창, 수축이 반복되면 장기간에 걸쳐서 탄산화에 의한 침해를 받아 콘크리트의 내부 균열 및 철근의 부식을 촉진시키므로 이에 대한 사전 검토가 요구된다.

골재의 알칼리 반응은 시멘트 중의 알칼리량( $\text{Na}_2\text{O} + 0.685\text{K}_2\text{O}$ )과 반응성 실리카의 반응에 의해 규산소다가 되는 것으로  $\text{SiO}_2 + 2\text{NaOH} + \text{H}_2\text{O} \rightarrow \text{Na}_2\text{H}_2\text{SiO}_4 \cdot 8\text{H}_2\text{O}$ 로 표시된다. 시멘트 중의 알칼리량은 최소 0.6%, 최대 1.05% 그리고 평균 0.73% 정도로, 골재 중에 반응성 실리카질이 함유되어 있는 경우에는 저알칼리 시멘트나 포줄란 물질 등을 첨가하여 사

용해야 한다. 국내에서는 알칼리골재반응에 대한 피해 사례가 거의 없지만 부순돌 및 부순모래의 사용이 활성화됨에 따라 알칼리골재반응에 대한 검사가 요망되며 이를 선별적으로 활용하는 것이 바람직하다고 사료된다.

### 3. 실험계획 및 방법

#### 3.1 실험파라미터

본 연구에서는 설계기준강도를  $240\text{kgf/cm}^2$ , W/C를 50%, 슬럼프플로우 50  $\pm 5\text{cm}$ , 공기량 4%이하, 단위수량을  $220\text{kg/m}^3$ 로 고정시키고, 잔골재의 종류를 강모래(R), 바다모래(S), 부순모래(C) 3종류를 사용하고, 강모래와 바다모래에 각각 부순모래를 0%, 20%, 40%, 60%, 80%, 100%로 혼입률을 변화시킨 수중불분리성 콘크리트의 실험파라미터를 Table 3.1에 나타냈다.

Table 3.1 Experimental parameter

Kinds of fine aggregate	Variation of Blend Ratio of Crushed Sand (%)
River sand (R)	0
	20
	40
	60
	80
	100
Sea sand (S)	0
	20
	40
	60
	80
	100

## 3.2 실험방법

### 3.2.1 수중불분리성 콘크리트의 제작

콘크리트의 제작은 혼합용적(Mixing capacity) 60 ℥인 강제식 믹서를 사용하고, Fig. 3.1과 같이 잔골재, 굽은골재, 시멘트, 수중불분리성 혼화제 순으로 믹서에 투입하여 건비빔을 실시한 후 배합수와 유동화제를 투입하여 수중불분리성 콘크리트를 제작한다.

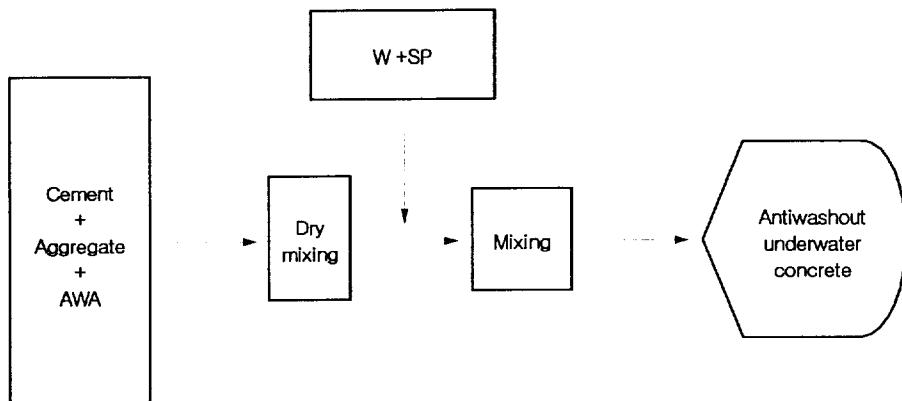


Fig. 3.1 Production flow of antiwashout underwater concrete

### 3.2.2 압축강도측정용 공시체제작 및 양생

압축강도측정용 공시체의 제작에는 표준몰드( $\phi 10 \times 20$ )를 사용하고, 한국콘크리트학회규준에 따라 수조속에 몰드를 거치하여 몰드의 상단에서 10cm위까지 물을 채우고, 비벼진 콘크리트를 핸드스쿠프(Hand scoup)를 이용하여 10등분 이상 분할한 양만큼, 수면에서 조용히 수중낙하시켜 봉우리 모양이 되도록 한 다음 몰드를 수조에서 꺼내어 5~10분 정도 정착시킨다. 몰드상면은 흙손으로 캡핑할 양만큼 남겨두고 마감한 다음, 캡핑후 탈형강도에 이르렀을 때 탈형하여  $20 \pm 3^{\circ}\text{C}$ 의 담수와 해수에서 양생한다.

### **3.2.3 굳지않은 콘크리트시험**

#### **(1) 재료분리저항성시험**

재료분리저항성시험은 대한토목학회에서 규정한 「콘크리트용 수중불분리성 혼화제 품질규준」의 「수중낙하시험 방법」에 준하여 실시하고, 시험방법은 1000cc비이커(외경 110mm, 높이 150mm)에 800cc의 종류수를 채우고 500g의 콘크리트를 10등분 이상 되게 수면에서 수중으로 조용히 분할 투입한 다음, 비이커에 600cc의 혼탁용액을 채취하여 각 혼화재료의 첨가량에 따른 수중불분리성 콘크리트의 혼탁액의 pH와 혼탁물질량을 측정한다.

#### **(2) 유동성시험**

유동성을 파악하기 위해서 대한토목학회에서 제시한 「콘크리트용 수중불분리성 혼화제 품질규준」의 「수중불분리성 콘크리트의 슬럼프플로우 시험방법」에 준하여 실시하고, 「KS F 2402 콘크리트 슬럼프시험」에 준하는 슬럼프콘과 다짐봉을 사용하여 슬럼프플로우를 측정한다. 슬럼프플로우 측정은 슬럼프콘을 제거하고 정치표준시간 5분 경과 후 콘크리트가 퍼진 직경이 최대인 방향과 그것의 직각방향에서 0.5cm까지 측정하여 그 평균값을 슬럼프플로우로 한다.

#### **(3) 공기량시험**

콘크리트에 과다한 공기량은 강도저하에 지대한 영향을 미치므로, 굳지않은 콘크리트의 공기함유량은 「KS F 2421 굳지않은 콘크리트의 압력법에 의한 공기함유량 시험(공기실압력방법)」에 준하여 워싱턴 에어미터를 사용하여 측정한다.

### 3.2.4 경화된 콘크리트시험

#### (1) 단위중량시험

단위중량시험은 부순모래 혼입률 변화 따라 담수와 해수에서 각각 제작·양생된 수중불분리성 콘크리트의 압축강도측정용 공시체의 중량을 재령 7일, 28일에 측정하여 단위중량으로 환산하였다.

#### (2) 압축강도시험

압축강도시험방법은 「KS F 2405 콘크리트의 압축강도 시험방법」에 준하여 실시하며, 압축강도시험은 담수와 해수에서 각각 제작·양생된 공시체를 재령 7일, 28일에 측정하였다.

### 3.3 사용재료

#### 3.3.1 시멘트

본 연구에서는 국내 S사의 1종 보통포틀랜드시멘트를 사용하였으며 물리·화학적특성은 Table 3.2와 같다.

Table 3.2 Physical & Chemical properties of ordinary portland cement

Physical property			Chemical composition (%)					
Specific gravity	Ignition loss (%)	Insoluble residue (%)	SiO <sub>2</sub>	Al <sub>2</sub> O <sub>3</sub>	Fe <sub>2</sub> O <sub>3</sub>	CaO	MgO	SO <sub>3</sub>
3.14	0.5~1.3	0.2~0.9	21.0~22.5	4.5~6.0	2.5~3.5	63.0~66.0	0.9~3.3	1.0~2.0

#### 3.3.2 골재

본 연구에서 사용한 굵은골재는 경남 용원 석산에서 생산한 굵은골재 최대 치수가 25mm인 부순자갈을 사용하였고, 잔골재는 경남 합천 황강에서 채취한 강모래와 전남 진도 앞바다에서 채취한 바다모래를 상용수로 제염하여 사용하

였고, 경남 용원 석산에서 채취한 부순모래를 사용하였으며, 사용골재의 물리적특성은 Table 3.3과 같다.

Table 3.3 Physical properties of aggregates

Kind \ Item	G <sub>max</sub> (mm)	Specific gravity	Water abs. (%)	FM	Unit weight (kg/m <sup>3</sup> )	Shell content (%)	Chloride cont. (× 10 <sup>-3</sup> %)	
							NaCl	Cl
Coarse aggregate.	25	2.62	1.0	6.97	1520	-	-	-
Fine aggregate. (River sand)	-	2.58	1.80	2.66	1540	-	-	-
Fine aggregate. (Sea sand)	-	2.58	1.80	2.75	1537	7.0	2.6	2.0
Fine aggregate. (Crushed sand)	-	2.66	3.00 below	3.00	-	-	-	-

### 3.3.3 혼화재료

본 연구에서는 국내 A사에서 생산되는 셀룰로오즈 에테르계의 수중불분리성 혼화제와, 멜라민계의 유동화제를 사용하였으며, 각각의 물리·화학적특성은 Table 3.4와 같다.

Table 3.4 Physical & Chemical properties of admixtures

Kinds \ Item	Specific gravity	Phase	pH	Main ingredient
Antiwashout underwater agent	1.06±0.02	White powder	7±0.1	Hydroxy Ethyl Cellulose
Superplasticizer	1.22±0.02	Light-brown liquid	11.5±1.5	Melamine

### 3.3.4 실험수

본 연구에서는 제작환경에 따른 수중불분리성 콘크리트의 특성을 파악하기 위해서 담수, 해수를 사용하였는데, 담수는 상용수로 사용되는 수도수를 사용하며, 해수는 부산광안대교 건설현장부근의 천연해수를 채취하여 사용한다. 실험

수들의 pH와 염화물을 측정한 결과는 Table 3.5와 같다.

Table 3.5 pH and chloride contents of experimental water

	Fresh water	Sea water
pH	8.426	8.097
Chloride content (%)	-	3.21 ~ 3.40

### 3.4 배합설계

본 연구에서는 배합설계를 수행하기 위해 부경대학교 건설재료실험실서 「W/C변화에 따른 수중불분리 콘크리트의 기초특성에 관한 실험적 연구」에서 도출된 배합강도와 시멘트-물비와의 관계식을 이용하여 다음과 같은 순서와 방법으로 배합설계를 실시하였다.

① 배합강도( $f_{cr}$ )가 240kgf/cm<sup>2</sup>일 때 배합계산을 수행하면 다음과 같다.

② W/C 계산

$$f_{cr} = -353 + 295 C/W \text{에서}$$

$$\begin{aligned} W/C &= \frac{295}{353 + f_{cr}} = \frac{295}{353 + 240} = 0.5 \\ &\approx 50\% < 65\% \quad \text{--- --- O.K} \end{aligned}$$

③ 단위수량(W) 결정

슬럼프률로우는 50cm,  $G_{max}$  25mm일 때, 단위수량은 220 kg/m<sup>3</sup>이다.

④ 단위시멘트량(C) 결정

$$C = 220 \div 0.50 = 440 \text{ (kg/m}^3\text{)}$$

⑤ 골재량 결정

굵은골재가 부순자갈이고, 최대치수( $G_{max}$ )가 25mm일 때 굵은골재 절대용

적( $V_G$ )은  $364 \text{ l/m}^3$ 이다.

본 연구에서는 잔골재로 강모래를 사용하고 잔골재율(s/a) 40%로 하여. 풀재의 전용적 및 각 골재의 단위량은 다음과 같다.

$$V_{(G+S)} = 1000 - (220 + \frac{440}{3.14} + 40)$$

$$= 599.9 (\text{ l/m}^3)$$

$$V_S = V_{(G+S)} \times s/a = 599.9 \times 0.40 = 240 (\text{ l/m}^3)$$

$$S = 240 \times 2.58 = 619 (\text{kg/m}^3)$$

$$V_G = V_{(G+S)} - V_S = 599.9 - 240 = 359.9 (\text{ l/m}^3)$$

$$G = 359.9 \times 2.62 = 943 (\text{kg/m}^3)$$

설계기준강도를  $240 \text{ kgf/cm}^2$ , W/C를 50%, 잔골재율 40%, 슬럼프플로우  $50 \pm 5 \text{ cm}$ , 공기량 4%이하, 단위수량을  $220 \text{ kg/m}^3$ 로 고정시키고, 잔골재로 강모래를 사용한 경우를 기준으로 하여 배합설계를 수행한 결과 Table 3.6과 같은 기준시방배합표를 얻을 수 있었다.

Table 3.6 Standard mix proportion

$f_{ck}$ (kgf/cm <sup>2</sup> )	W/C (%)	Slump flow (cm)	Air content (%)	$G_{max}$ (mm)	s/a (%)	Unit weight (kg/m <sup>3</sup> )					
						W	C	S	G	AWA	SP
240	50	$50 \pm 5$	below 4.0	25	40	220	440	619	943	2.64	8.80

⑥ 기준시방배합표의 배합사항을 기준으로 실험조건인 부순모래 혼입률 변화에 따른 배합설계를 실시한 결과는 Table 3.7과 같다.

Table 1 Mix proportion of antiwashout underwater concrete

Symbol	$f_{cu}$ (kgf/cm <sup>2</sup> )	$G_{max}$ (mm)	Slump flow (cm)	Air Value (%)	s/a	W/C	Unit weight (kg/m <sup>3</sup> )						Admixture	
							W	C	R.S	S.S	C.S	G	AWA	SP
RC- 0	240	25	50±5	4이하	38	50	220	440	619	-	0	943	2.64	8.8
RC- 20	240	25	50±5	4이하	40	50	220	440	495	-	128	943	2.64	8.8
RC- 40	240	25	50±5	4이하	42	50	220	440	372	-	255	943	2.64	8.8
RC- 60	240	25	50±5	4이하	45	50	220	440	248	-	383	943	2.64	8.8
RC- 80	240	25	50±5	4이하	38	50	220	440	124	-	511	943	2.64	8.8
RC-100	240	25	50±5	4이하	40	50	220	440	0	-	638	943	2.64	8.8
SC- 0	240	25	50±5	4이하	42	50	220	440	-	619	0	943	2.64	8.8
SC- 20	240	25	50±5	4이하	45	50	220	440	-	495	128	943	2.64	8.8
SC- 40	240	25	50±5	4이하	38	50	220	440	-	372	255	943	2.64	8.8
SC- 60	240	25	50±5	4이하	40	50	220	440	-	248	383	943	2.64	8.8
SC- 80	240	25	50±5	4이하	42	50	220	440	-	124	511	943	2.64	8.8
SC-100	240	25	50±5	4이하	45	50	220	440	-	0	638	943	2.64	8.8

## 4. 실험결과 및 고찰

### 4.1 굳지않은 수중불분리성 콘크리트의 특성

Table 4.1은 잔골재로 강모래, 바다모래, 부순모래를 사용하고, 강모래와 바다모래에 각각 부순모래를 0%, 20%, 40%, 60%, 80%, 100%로 혼입률을 변화시킨 굳지않은 수중불분리성 콘크리트의 재료분리저항성을 파악하기 위해 혼탁액의 pH와 혼탁물질량을, 유동성을 파악하기 위해 슬럼프플로우시험을, 공기량 특성을 파악하기 위해 워싱턴에어미터로 공기량을 측정한 결과이다.

Table 4.1 Results of fresh concrete

Symbol	pH	Suspension ( mg/l )	Slump flow ( cm )	Air content ( % )
RC- 0	11.131	75.3	52.0	1.8
RC- 20	11.086	73.0	51.0	1.3
RC- 40	11.042	68.5	51.3	2.8
RC- 60	10.995	57.2	49.8	2.8
RC- 80	10.981	47.2	50.0	2.6
RC-100	10.939	42.7	48.0	2.5
SC- 0	11.067	80.3	49.3	2.5
SC- 20	11.032	75.9	49	2.5
SC- 40	10.994	69.8	51.8	3.0
SC- 60	10.963	59.8	50.8	2.8
SC- 80	10.992	49.6	50.5	2.5
SC-100	10.939	42.7	48.0	2.5

#### 4.1.1 재료분리저항성

Fig. 4.1과 Fig. 4.2는 부순모래 혼입률 변화에 따른 굳지않은 수중불분리성 콘크리트의 재료분리저항성을 파악하기 위해 혼탁액의 pH와 혼탁물질량을 측정한 결과이다.

Fig. 4.1과 Fig. 4.2에서 실험조건에 관계없이 혼탁액의 pH와 혼탁물질량은 모두 대한토목학회에서 규정한 「콘크리트용 수중불분리성 혼화제 품질규준」의 기준치인 12이하, 150( $\text{mg/l}$ )이하를 만족하는 것으로 나타났다.

Fig. 4.1과 Fig. 4.2에서 부순모래 혼입률이 증가할수록 pH와 혼탁물질량은 감소하는 경향이 나타났는데, 이것은 부순모래의 흡수율이 높기 때문에 상대적으로 된반죽이 되어 물의 셋김작용에 대한 저항성이 커지기 때문이라고 사료된다.

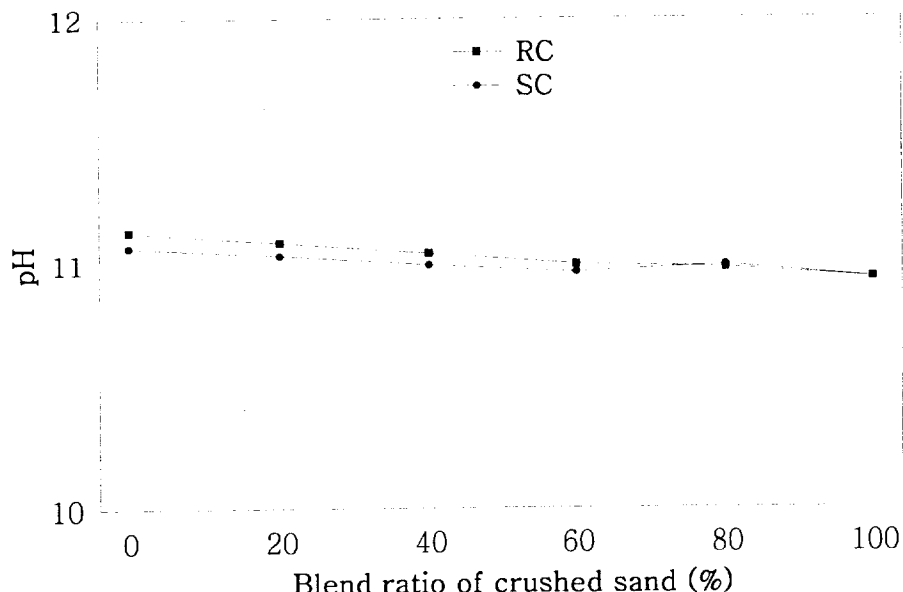


Fig. 4.1 pH as to variation of blend ratio of crushed sand

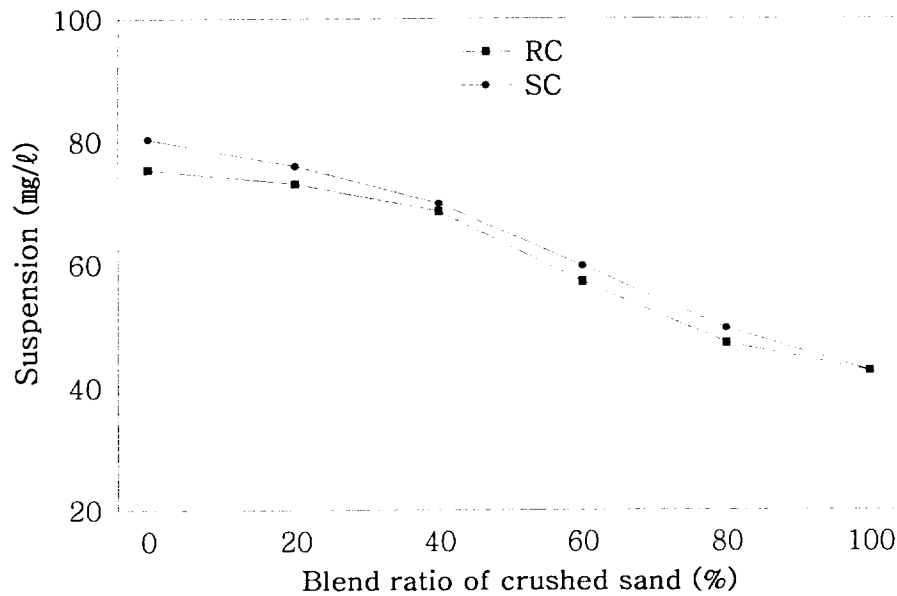


Fig. 4.2 Suspension as to variation of blend of ratio of crushed sand

#### 4.1.2 유동성

Fig. 4.3은 부순모래 혼입률 변화에 따른 굳지않은 수중불분리성 콘크리트의 유동성을 파악하기 위해 슬럼프콘을 제거하고 5분 경과후의 슬럼프플로우를 측정한 결과이다.

Fig. 4.3에서 슬럼프플로우는 부순모래 혼입률 변화에 관계없이 배합설계기준인  $50 \pm 5\text{cm}$ 를 만족하였다. 또한 잔골재의 종류에 따라 살펴보면 강모래, 바다모래, 부순모래 순으로 슬럼프플로우가 크게 나타났는데, 이것은 골재의 형상과 골재의 표면의 거친 정도와 흡수율의 차이 때문으로 사료된다. 그리고 부순모래 혼입률을 변화시켰을 때는 40%에서 슬럼프플로우가 가장 크게 나타났다.

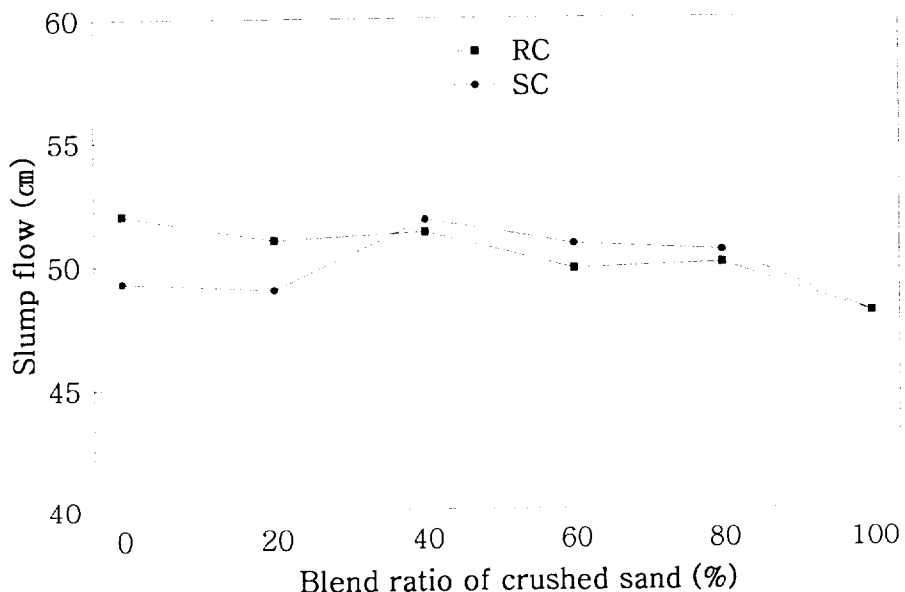


Fig. 4.3 Slump flow as to variation of blend ratio of crushed sand

#### 4.1.3 공기량

Fig. 4.4는 부순모래 혼입률 변화에 따른 굳지않은 수중불분리성 콘크리트의 공기량을 측정한 결과이다.

Fig. 4.4에서 부순모래 혼입률 변화에 관계없이 배합설계기준인 4%이하를 모두 만족하였고, 부순모래 혼입률을 변화시켰을 때 40%에서 공기량이 가장 높게 나타났다.

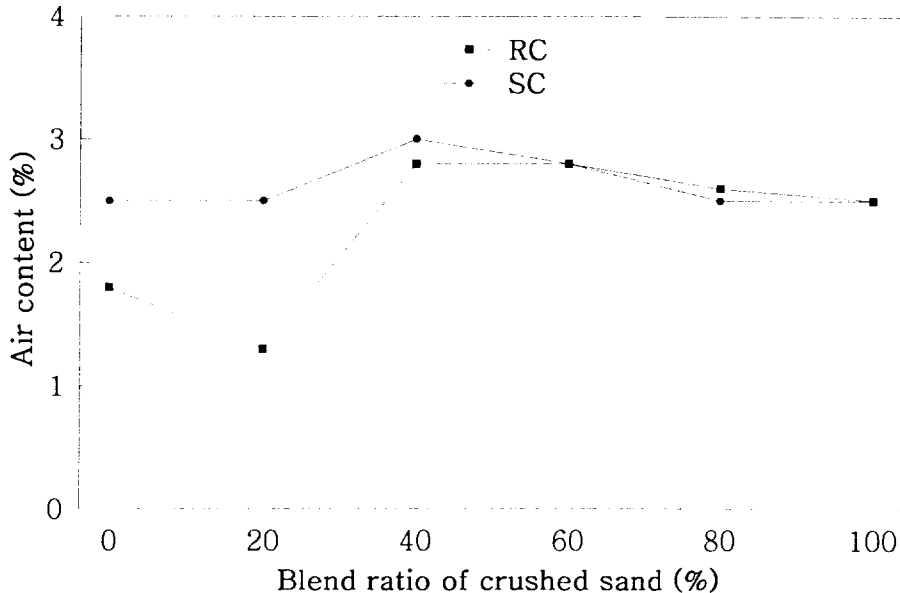


Fig. 4.4 Air contents as to blend ratio of crushed sand

## 4.2 경화된 수중불분리성 콘크리트의 특성

Table 4.2와 Table 4.3은 잔골재로 강모래, 바다모래, 부순모래를 사용하고, 강모래와 바다모래에 각각 부순모래를 0%, 20%, 40%, 60%, 80%, 100%로 혼입률을 변화시켜 담수와 해수에서 각각 제작·양생한 재령 7일, 재령 28일에 경화된 수중불분리성 콘크리트의 단위중량과 압축강도를 측정한 결과이다.

Table 4.2 Results of hardened concrete ( 7days )

Symbol	Unit weight (kg/m <sup>3</sup> )		Compressive strength (kgf/cm <sup>2</sup> )	
	Fresh water	Sea water	Fresh water	Sea water
RC- 0	2267	2262	238	214
RC- 20	2271	2266	222	197
RC- 40	2275	2275	225	206
RC- 60	2276	2281	196	170
RC- 80	2282	2283	211	195
RC-100	2324	2301	208	198
SC- 0	2287	2273	208	188
SC- 20	2291	2281	198	185
SC- 40	2294	2288	237	204
SC- 60	2302	2289	223	191
SC- 80	2308	2296	209	180
SC-100	2324	2301	208	198

Table 4.3 Results of hardened concrete ( 28days )

Symbol	Unit weight (kg/m <sup>3</sup> )		Compressive strength (kgf/cm <sup>2</sup> )	
	Fresh water	Sea water	Fresh water	Sea water
RC- 0	2273	2264	289	254
RC- 20	2278	2285	278	219
RC- 40	2294	2289	285	248
RC- 60	2301	2289	283	220
RC- 80	2302	2303	259	225
RC-100	2327	2314	244	231
SC- 0	2295	2274	234	217
SC- 20	2302	2288	272	215
SC- 40	2303	2289	280	247
SC- 60	2308	2293	264	217
SC- 80	2308	2298	245	239
SC-100	2327	2314	244	231

#### 4.2.1 단위중량

Fig. 4.5는 부순모래 혼입률을 변화시켜 담수와 해수에서 각각 제작·양생한 재령 7일의 수중불분리성 콘크리트의 단위중량을 측정한 결과이며, Fig 4.6은 재령 28일의 수중불분리성 콘크리트의 단위중량을 측정한 결과이다.

Fig. 4.5, Fig. 4.6에서 제작·양생조건 및 재령에 관계없이 부순모래 혼입률이 증가할수록 단위중량이 크게 나타났는데, 이것은 부순모래의 비중이 강모래나 바다 모래의 경우보다 상대적으로 크기 때문으로 사료된다. 그리고 전체적으로 보통콘크리트의 단위중량인  $2350\text{kg}/\text{m}^3$ 보다 가볍게 나타났는데, 이것은 다짐 없이 수중에서 제작하였기 때문으로 사료된다.

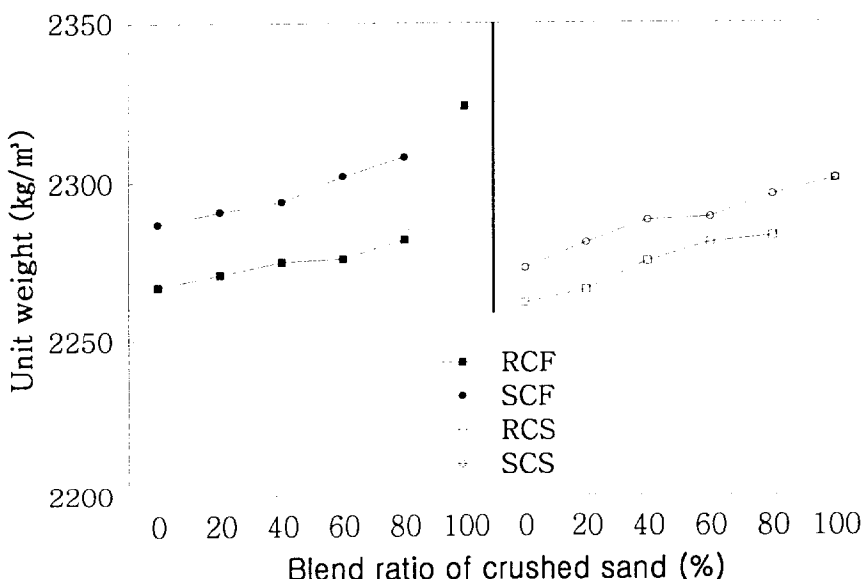


Fig. 4.5 Unit weight as to variation of blend ratio of crushed sand  
(7 days)

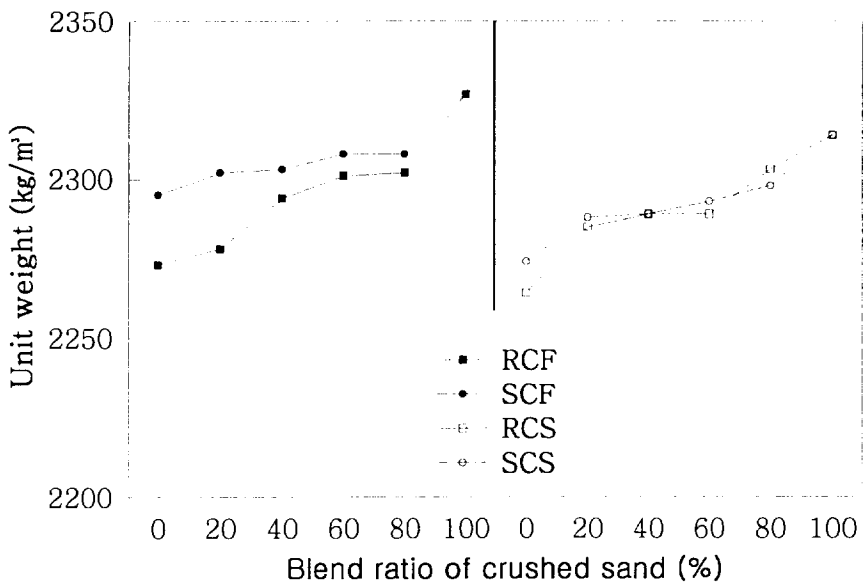


Fig. 4.6 Unit weight as to varation of blend ratio of crushed sand  
(28 days)

#### 4.2.2 압축강도

Fig. 4.7은 부순모래 혼입률을 변화시켜 담수와 해수에서 각각 제작·양생한 재령 7일의 수중불분리성 콘크리트의 압축강도를 측정한 결과이며, Fig 4.8은 재령 28일의 압축강도를 측정한 결과이다.

Fig. 4.7, Fig. 4.8에서 제작·양생 조건과 재령에 관계없이 압축강도의 크기는 강모래, 부순모래, 바다모래 순으로 나타났으며, 잔골재로 강모래를 사용한 경우(부순모래 혼입률 0%)를 제외하고는 잔골재의 종류에 관계없이 부순모래 혼입률 40%에서 가장 큰 압축강도가 나타났다. 따라서 강모래나 바다모래에 부순모래를 혼입한다면 최적 부순모래 혼입률은 40%로 볼 수 있겠다.

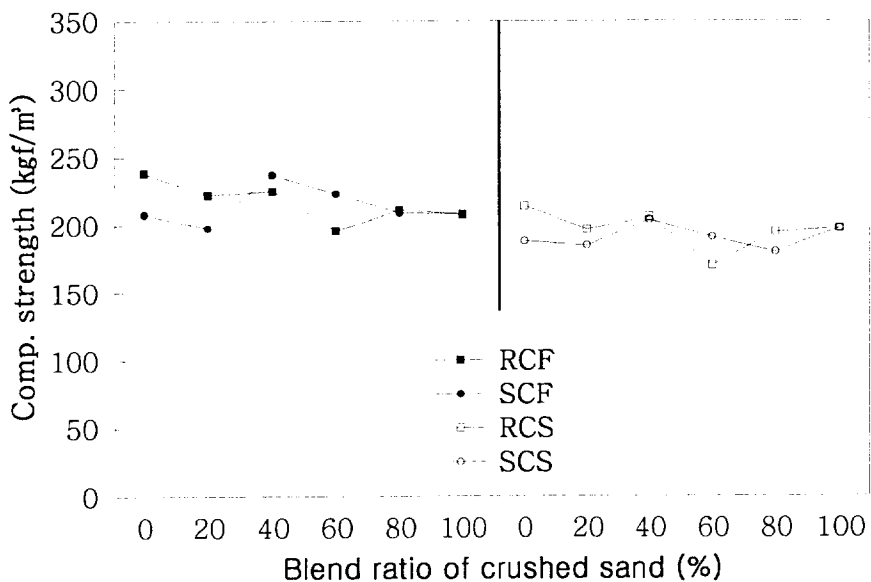


Fig. 4.7 Compressive strength as to variation of blend ratio of crushed sand (7 days)

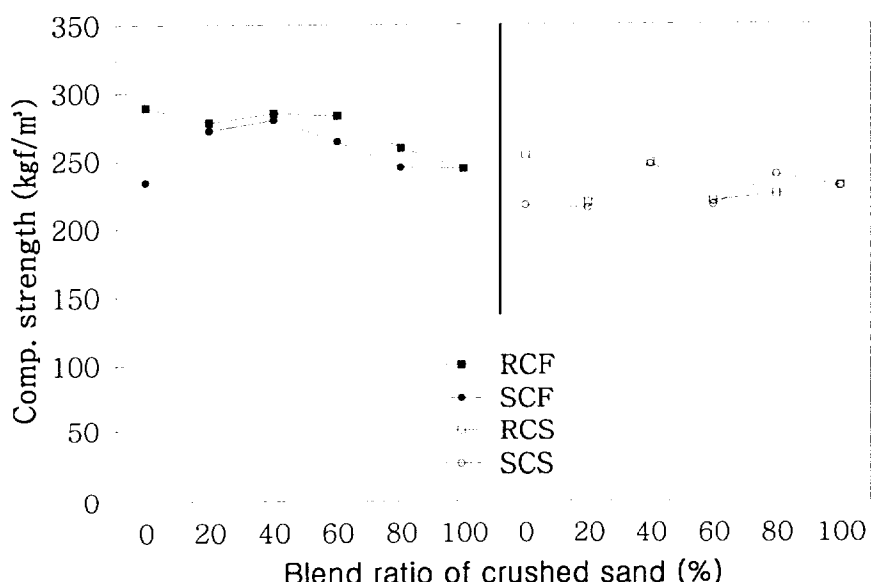


Fig. 4.8 Compressive strength as to variation of blend ratio of crushed sand(28 days)

## 5. 결 론

본 연구에서는 부순모래 혼입률 변화에 따른 수중불분리성 콘크리트의 품질 변화를 측정하기 위해서 강모래와 바다모래에 각각 부순모래를 0%, 20%, 40%, 60%, 80%, 100%로 혼입률을 변화시켜 실험한 결과 다음과 같은 결론을 얻을 수 있었다.

- (1) 재료분리저항성을 나타내는 pH와 혼탁물질량을 측정한 결과 부순모래 혼입율이 증가할수록 pH와 혼탁물질량은 감소하는 경향이 나타났는데, 이것은 부순모래의 흡수율이 높기 때문에 상대적으로 된반죽이 되어 물의 셋김작용에 대한 저항성이 커지기 때문이라고 사료된다.
- (2) 유동성을 평가할 수 있는 슬럼프플로우를 측정한 결과 강모래, 바다모래, 부순모래 순으로 슬럼프플로우가 크게 나타났는데, 이것은 골재의 형상과 흡수율의 차이 때문으로 사료된다. 그리고 부순모래 혼입률을 변화시켰을 때 40%에서 슬럼프플로우가 가장 크게 나타났다.
- (3) 부순모래 혼입율을 변화시켜 공기량을 측정한 결과, 부순모래 혼입률 40%에서 공기량이 가장 높게 나타났다.
- (4) 단위중량은 담수 및 해수에서의 제작·양생조건과 재령에 관계없이 부순모래 혼입률이 증가할수록 크게 나타났는데, 이것은 부순모래의 비중이 강모래나 바다모래의 경우보다 상대적으로 크기 때문으로 사료된다. 전체적으로 보통콘크리트의 단위중량인  $2350\text{kg}/\text{m}^3$ 보다 가볍게 나타났는데, 이것은 다짐 없이 수중에서 제작하였기 때문으로 판단된다.
- (5) 재령과 담수 및 해수에서의 양생조건에 관계없이 압축강도의 크기는 강모래, 부순모래, 바다모래 순으로 나타났고, 강모래만 사용한 경우를 제

외하고는 잔골재의 종류에 관계없이 부순모래 혼입률 40%에서 가장 큰 압축강도가 나타났다. 따라서 강모래나 바다모래에 부순모래를 혼입하여 사용한다면 최적 부순모래 혼입률은 40%로 볼 수 있겠다.

## 참 고 문 헌

1. 김명식, “수중비분리콘크리트의 특성에 대한 기초적 연구”, 한국농공학회지, 제38권, 제6호, pp. 75-82, 1996.
2. 김명식 외 3인, “W/C변화에 따른 수중불분리 콘크리트의 기초특성에 관한 실험적 연구”, 한국콘크리트학회 논문집, 제11권, 제4호, pp. 21-30, 1999. 8.
3. 백동일, “해사를 사용한 수중불분리콘크리트의 특성에 관한 기초적 연구”, 부경대학교 산업대학원, 1998. 2.
4. 어영선, “수중불분리콘크리트의 최적 물-시멘트비에 관한 실험적 연구”, 부경대학교 산업대학원, 1998. 8.
5. 최의식, “해사를 사용한 수중불분리콘크리트의 강도발현에 관한 기초적 연구”, 부경대학교 산업대학원, 1998. 8.
6. 김광민, “해사 혼합률 변화에 따른 수중불분리콘크리트의 특성에 관한 실험적 연구”, 부경대학교 산업대학원, 1999. 2.
7. 김기동, “수중불분리콘크리트의 부착강도특성에 관한 기초적 연구”, 부경대학교 산업대학원, 1999. 8.
8. 이상명, “제작환경에 따른 수중불분리성 콘크리트의 특성에 관한 실험적 연구”, 부경대학교 일반대학원, 2000. 3.
9. 윤재범, “배합조건과 양생수에 따른 수중불분리성 콘크리트의 특성에 관한 연구”, 부경대학교 일반대학원, 2000. 3.
10. 문한영, “콘크리트용 수중불분리성 혼화제 품질기준”, 대한토목학회지, 제45권, 제3호, pp. 71-77, 1997.1.
11. 대한토목학회, “콘크리트용 유동화제 품질기준”, 대한토목학회지, 제45권 제3호, pp. 93-97, 1997.3.
12. 한국콘크리트학회, “최신콘크리트공학” pp. 109-170, 1997. 10.
13. 대한건축학회, “고강도-고성능 콘크리트 제조 · 시공 및 설계”, 1996. 4.
14. 문한영 외 3인, “고로슬래그미분말을 활용한 수중불분리성콘크리트”, 한국콘크리트학회 1998년도 가을 학술발표회 논문집, 제10권, 제2호, pp. 83-86, 1998.

15. 中川良隆，“水中コンクリート”，日本土木學會論文集，Vol.31, No.3, pp.67-72, 1993. 3.
16. 財團法人沿岸開發技術研究センターはか，水中不分離性コンクリート・マニュアル(設計・施工), 山海堂, pp.41-52, 1990.
17. 關博，“日本土木學會，水中不分離性 コンクリート設計施工指針(案) のアウトラインセメント・コソクリート”，No.541, pp.49-95, 1992.
18. Takeshi Ohtomo, Yasunori Matsuoka, Yoshitaka Nakagawa, and Jun Nakahira "Influence of Materials on the Action of Admixtures in Antiwashout Underwater Concrete", ACI Materials Journal, Vol.92, No.3, pp.315-320, May-June 1995.
19. Ksmal Henri Khayat, "Effects of Antiwashout Admixtures on Fresh Concrete Properties", ACI Materials Journal, Vol.92, No.2, pp.164-171, March-April 1995.
20. Nobuaki Otsuki, Makoto Hisada, Shigeyoshi Nagataki, and Toshiro Kamada, "An Experimental Study on the Fluidity of Antiwashout Underwater Concrete", ACI Materials Journal, Vol.93, No.1, pp.20-25, January-February 1996.
21. 한국콘크리트학회, “콘크리트표준시방서 해설집”，기문당, pp.466~480, 2000. 5.
22. 한국콘크리트학회, “부순모래 및 부순모래 콘크리트”，기문당, pp.47~61, 1998. 6.

## 감사의 글

지나온 나날들 중에서 소중한 기억이 될 2년여 동안 과정의 작은 열매를 거두면서 곁에서 항상 도움을 주신 분들에게 감사의 마음을 전하고자 합니다.

본 논문이 완성되기까지 격려와 배려를 아끼지 않으신 김명식 지도교수님에게 깊은 감사를 드립니다. 또한 미흡한 저의 논문을 심사하며 교정해 주신 국승규 교수님, 이환우 교수님 그리고 부족한 저를 이끌어 주시고 가르쳐 주신 김상용 교수님, 김종수 교수님, 손인식 교수님, 이종섭 교수님, 이동욱 교수님, 이종출 교수님, 이영대 교수님, 정진호 교수님, 정두희 교수님, 이상호 교수님께 진심으로 감사드립니다.

무더운 여름에도 불구하고 본 논문이 완성되도록 힘든 실험을 도와준 박세인, 정병훈, 정해동군 또한 건설재료실험실 동아리 여러분들의 노고에 박수를 보냅니다.

이렇게 많은 분들의 도움으로 완성된 논문은 저에게 감사와 은혜를 배우게 하였고, 오늘보다 나은 내일을 준비하기 위한 자그마한 또 하나의 결실을 볼 수 있게 되었다고 생각합니다.

끝으로 저를 믿음과 사랑으로 아껴주시던 부모님에게도 감사드립니다.